TOM XVII

1971

Вып. 4

УДК 534.833.522.4;534.213.4

## ЗВУКОИЗОЛЯЦИЯ ЗАМКНУТОЙ ЦИЛИНДРИЧЕСКОЙ ОБОЛОЧКИ ПРИ ВОЗБУЖДЕНИИ ИЗНУТРИ

## В. И. Гельфгат, Д. Р. Гужас, Р. Н. Михайлов, Б. Д. Тартаковский

Рассмотрена звукоизоляция цилиндрической оболочки при осесимметричном возбуждении изнутри и для нормальной волны, распространяющейся внутри оболочки. Показано, что звукоизоляция оболочки на низких частотах значительно превышает звукоизоляцию пластины той же толщины. С ростом частоты звукоизоляция уменьшается и на высоких частотах совпадает с звукоизоляцией пластины.

Полученные результаты проверены экспериментально, причем по-

лучено хорошее совпадение расчетных и опытных данных.

Вопросу о звукоизоляции цилиндрических оболочек посвящено несколько работ. Так, Кремер [1] исследовал звукоизоляцию цилиндрической оболочки на высоких частотах при диффузном падении звука. Тому же вопросу посвящены работы [2 и 3]. Частный случай нормального падения звука рассмотрен в работе [4]. В работе [5] получены некоторые результаты по звукоизоляции цилиндрической оболочки при облучении снаружи.

Ниже рассматривается звукоизоляция на низких частотах для диффузного падения звука изнутри и при распространении нормальных волн, возбуждаемых внутри оболочки. Второй случай изучается как теоретически,

так и экспериментально.

Пусть на оси цилиндрической оболочки расположен источник звука, излучающий волну вида

$$P = H_0^{(1)} \left( kr \cos \theta \right) e^{ikz \sin \theta} \cdot e^{-i\omega t}, \tag{1}$$

где  $k = \omega / c$  — волновое число в среде, r и z — цилиндрические координаты,  $\theta$  — угол падения волны на оболочку (фиг. 1). Волна, заданная в виде (1), является аналогом плоской волны, падающей на пластину под углом  $\theta$ . Уравнение движения оболочки при осесимметричных колебаниях имеет вид [6]

$$\frac{d^{2}U}{dz^{2}} - \frac{\sigma}{R} \frac{dW}{dz} + \frac{\omega^{2}}{c^{2}} U = 0,$$

$$\frac{\sigma}{R} \frac{dU}{dz} - \frac{h^{2}}{12} \frac{d^{4}W}{dz^{4}} - \frac{W}{R^{2}} + \frac{\omega^{2}}{c^{2}} W = -\frac{(1 - \sigma^{2})}{Eh} F(z) e^{i\alpha z}, \qquad (2)$$

где U и W — тангенциальное и нормальное смещения,  $\rho_0$ , E и h — плотность материала, модуль Юнга и толщина стенки оболочки соответственно,

$$R = \text{радиус цилиндра, } c_0 = \left[ \frac{E}{\rho_0 (1 - \sigma^2)} \right]^{\frac{1}{2}} = \text{скорость продольных волн}$$

в пластине, F(z) — плотность возбуждающей силы. Согласно уравнениям

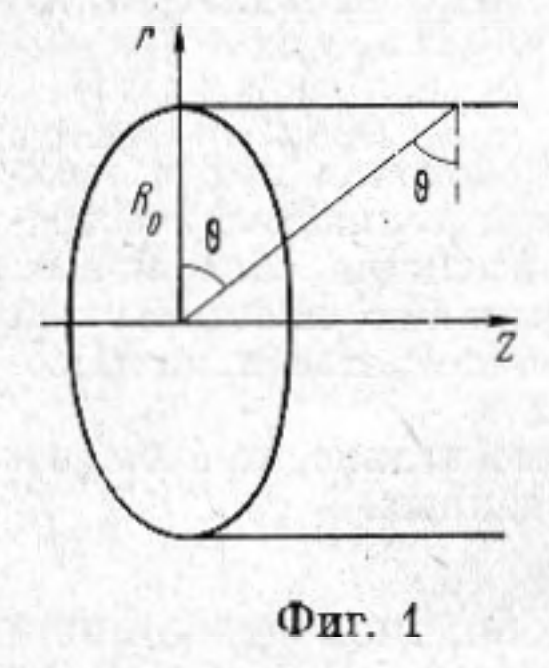
(2), импеданц оболочки

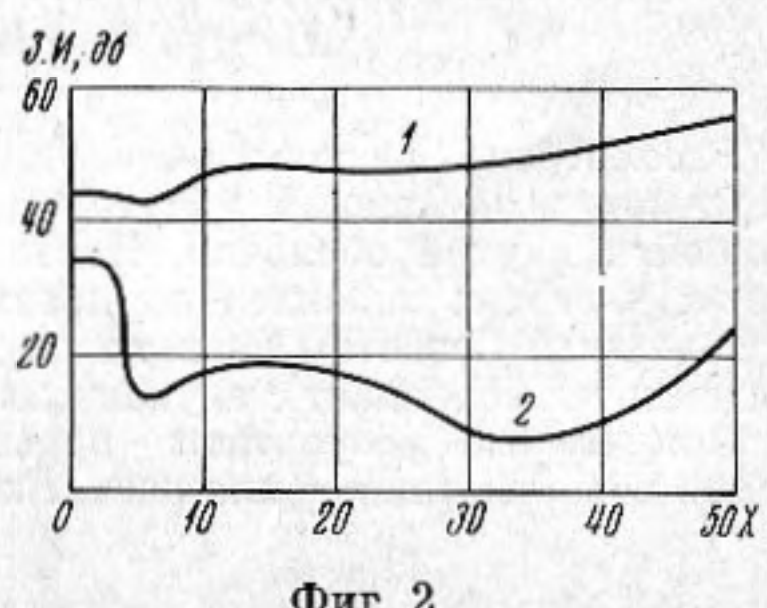
$$Z_{0} = \frac{P_{1} - P_{2}}{-i\omega W} = i \frac{\rho_{0}c_{0}}{nkR} \frac{h}{R} \left\{ 1 + \sigma^{2} \frac{\sin^{2}\theta}{n^{2} - \sin^{2}\theta} - (nkR)^{2} + \left(\frac{h}{R}\right)^{2} \frac{(nkR\sin\theta)^{4}}{12} \right\}$$
(3)

где  $n = c / c_0$ ,  $\rho_0 c_0$  — волновое сопротивление материала оболочки. Звуковое поле в среде представим в виде

$$P_1 = P_{\text{fer}} + VP_{\text{cr}}, \quad P_2 = DP_{\text{fer}}, \tag{4}$$

где  $P_1$  и  $P_2$  — звуковое давление внутри и вне оболочки. V и D — коэффициенты отражения и прохождения,  $P_{\rm der}$  и  $P_{\rm cr}$  — давление, соответствующее расходящейся и стоячей волнам. Приравняв нормальные скорости вне





Фиг. 2

и внутри оболочки к скорости колебаний оболочки и выразив их через импеданцы и соответственное давление, получим

$$D = \frac{Z_{\text{6er}} - Z_{\text{cr}}}{Z_{\text{6er}} - Z_{\text{cr}} + Z_{0}}, \quad \frac{P_{2}}{P_{1}} \Big|_{r=R} = \frac{Z_{\text{6er}}}{Z_{\text{6er}} + Z_{\text{cr}}}, \quad (5)$$

где  $Z_{\text{бег}}$  и  $Z_{\text{ст}}$  — импеданцы в бегущей и стоячей волнах, определяемые по формулам:

$$Z_{\text{fer}} = \frac{P_{\text{fer}}}{v_{\text{fer}}} = \frac{\rho c}{i \cos \theta} \frac{H_0^{(1)} \left(kr \cos \theta\right)}{H_1^{(1)} \left(kr \cos \theta\right)},$$

$$Z_{\text{cr}} = \frac{P_{\text{cr}}}{v_{\text{cr}}} = \frac{\rho c}{i \cos \theta} \frac{J_0 \left(kr \cos \theta\right)}{J_1 \left(kr \cos \theta\right)},$$
(6)

где  $v_{\rm fer}$  (соответственно  $v_{\rm cr}$ ) — нормальные скорости в бегущей (соответственно стоячей) волне.

Для диффузиого звука звукоизоляция оболочки определяется следующим образом:

$$3\mathbf{H} = -10\lg\left[2\int_{0}^{1} |D(\theta)|\cos\theta \, d\cos\theta\right]. \tag{7}$$

На фиг. 2 показана зависимость звукоизоляции от частоты, вычисленная по формуле (7) для  $n=5,8\cdot 10^{-2};\ \xi=\frac{\rho_0 c_0}{cc}=10^5$  (стальная оболочка

в воздухе) при разных отношениях 
$$\frac{h}{R} = 0.03(1)$$
; 0,003 (2).

Применительно к рассмотрению нормальных волн назовем звукоизоляцией величину  $3H = -20 \lg |P_2/P_1|$ . Будем считать, что звукоизоляция достаточно велика и затухание нормальных волн из-за излучения мало; звуковое поле осесимметрично и обуславливается, в основном, одной распространяющейся нормальной волной, ближайшей к своей резонансной частоте. Эти допущения хорошо подтверждаются проведенным нами экспериментом.

Поле в среде можно представить в виде

$$P_{1}(r,z) = J_{0}(kr\cos\theta) e^{ikz\sin\theta}, \qquad P_{2}(r,z) = AH_{0}^{(t)} (kr\cos\theta) e^{ikz\sin\theta}. \tag{8}$$

Из очевидных соотношений

$$P_1 - P_2 = vZ_0, \quad P_1 = vZ_{cr}, \tag{9}$$

где v — нормальная скорость, легко определить все интересующие нас величины. Воспользовавшись тем, что  $|P_2| \ll |P_1|$ , из формулы (9) получим дисперсионное уравнение (точное в отсутствие внешней среды)

$$Z_c = Z_{c\tau}, \tag{10}$$

которое при учете формулы (6) приобретает вид

$$a\left\{1+\sigma^2\frac{\sin^2\theta}{n^2-\sin^2\theta}-(nkR)^2\right\}=-\frac{J_0(kr\cos\theta)kr}{J_1(kr\cos\theta)\cos\theta},\qquad (11)$$

где  $a = \frac{\rho_0 c_0^2}{\rho c^2} \cdot \frac{h}{R}$ . Ради упрощения исключим из рассмотрения узкую

область углов, определяемую неравенством  $n^2(1-\sigma^2) < \sin^2\theta < < n^2(1+\sigma^2)$ . При падении волны под этими углами в оболочке возбуждается осесимметричная нормальная волна продольного типа. Как известно, при прохождении плоских волн через плоские пластины эффект возбуждения продольных волн в пластинах при критическом угле  $\sin\theta = c/c_0$  трудно наблюдаем экспериментально и поэтому в рассматривае-

мом случае может не учитываться.

Пока  $|a/(kR)^2| \gg 1$  корни уравнения (11) мало отличаются от корней дисперсионного уравнения нормальных волн в цилиндре с абсолютно жесткими стенками, т. е.  $J_1(kr\cos\theta) = 0$ . В качестве нулевого приближения можно было бы взять корни этого уравнения, однако при этом нормальная скорость стенок цилиндра равна нулю. Для фактического определения их нормальной скорости необходимо определить угол в следующем приближении. Разлагая функции Бесселя вблизи нуля, получим для нулевой нормальной волны ( $|kr\cos\theta| \ll 1$ ) угол наклона:

$$\cos \theta = \frac{i}{\sqrt{a/2}}.\tag{12}$$

Использовав формулы (6) и (9), получим выражение для звукоизоляции:

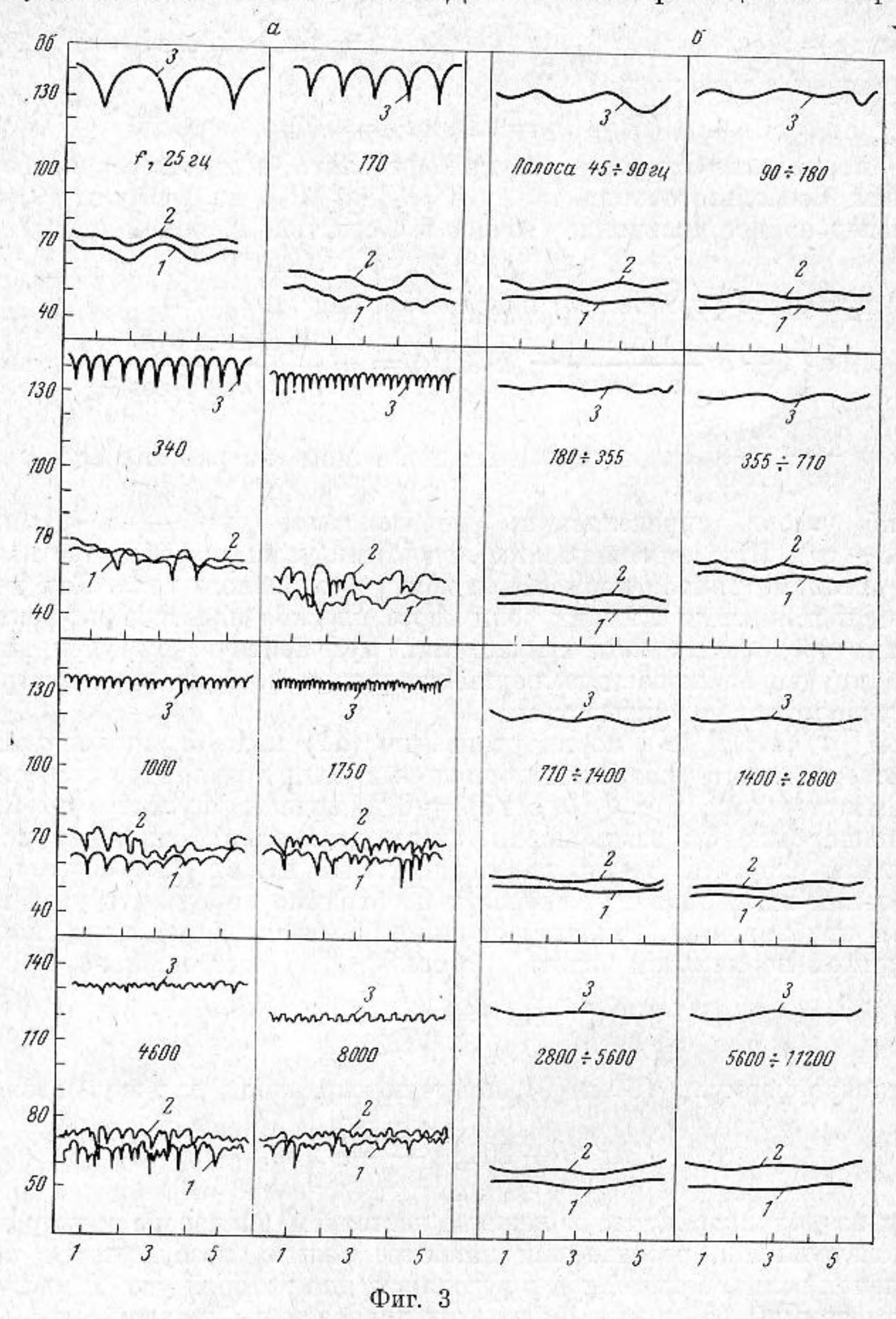
$$3И \approx -20 \lg \left[ \frac{(kR)^2}{2a} \right] \partial \delta.$$
 (13)

Исходя из допущения, что в каждом частотном диапазоне между двумя последовательными резонансами наиболее сильно возбуждается только нормальная волна, ближайшая к резонансу, для которой угол в мал, получим из формулы (5) в каждом из этих диапазонов выражение для звуко-изоляции:

$$3\mathbf{H} = -20\lg \frac{kR}{a|1 - (nkR)^2|}. (14)$$

Звукоизоляция уменьшается с частотой до тех пор, пока nkR < 1, т. е. до первого резонанса продольных волн в оболочке, потом увеличивается по закону массы. Поскольку при рассмотрении предполагалось, что звуко-изоляция велика, формула (14) неверна вблизи nkR = 1.

Для проверки принятых допущений и полученных при этом результатов были проведены экспериментальные исследования звукоизоляции труб. Измерения звукоизоляции проводились на стальных трубах, подвешенных на капроновых нитях и резиновых амортизаторах к стойкам, установленным в акустической камере. Была предусмотрена возможность перемещения микрофонов снаружи и внутри трубы вдоль оси, синхронизованных с записью на ленте уровня звукового давления. Микрофоны располагались непосредственно у стенки трубы (на расстоянии 0,5—1 см) и при удалении от стенки на 50 см. Для осевого перемещения микрофонов



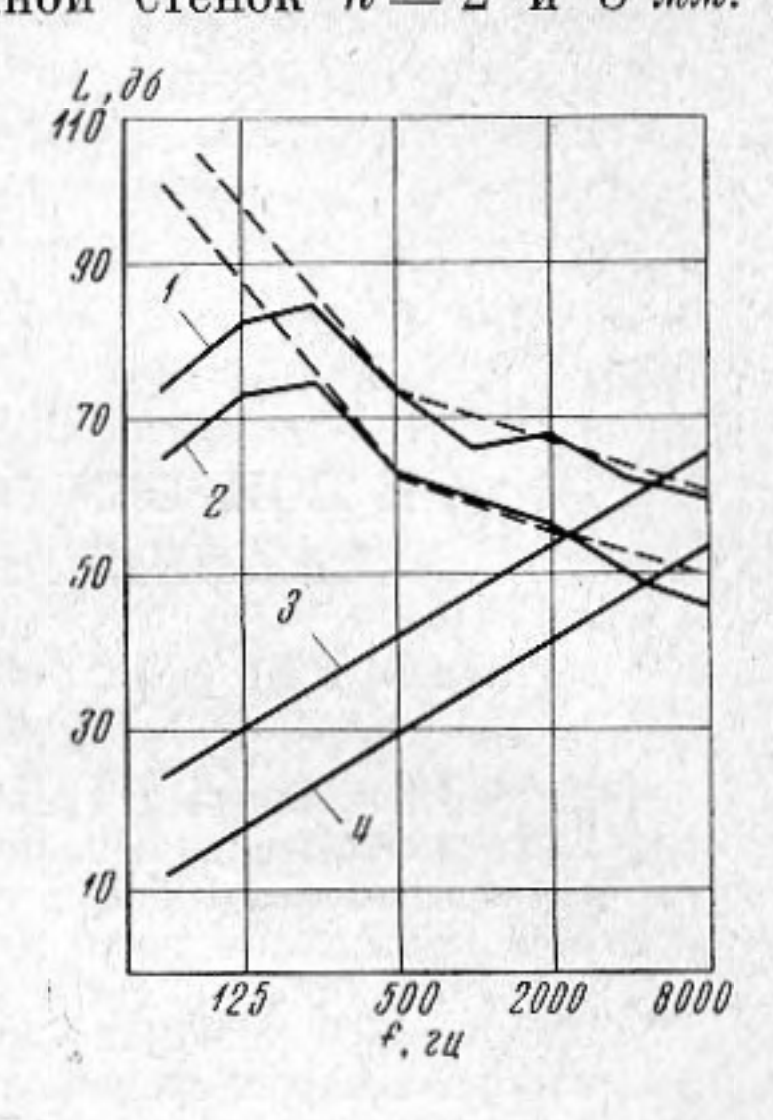
внутри трубы в ней были просверлены отверстия и вставлены трубки, через которые проходил трос и кабель микрофона. Неравномерность звукового поля по сечению трубы определялась путем перестановки микрофона по радиусу с помощью гибкого шланга, закрепленного в тележке.

Источник звука был установлен на одном торце трубы. На другом была установлена отражающая заглушка, сделанная из металла и резины общей толщиной, превышающей толщину стенки трубы примерно в десять раз. Источником звука внутри трубы служил громкоговоритель 50 ГРД-8, вмонтированный в камеру цилиндрической формы, заполненную распушенной стекловатой. Камера была подвешена на амортизаторах и виброизолирована от трубы с помощью резиновых дисков. Громкогово-

ритель возбуждался синусоидальными тонами и полосами белого шума. Была измерена звукоизоляция двух стальных цилиндрических труб длиной l=6 м и диаметром 219 мм с толщиной стенок h=2 и 8 мм.

Результаты измерений представлены на фиг. 3 и 4. На фиг. 3 показаны уровни звукового давления внутри трубы с толщиной стенок 2 мм (кривая 1) и снаружи (кривые 2, 3) на синусоидальных тонах (кадры а) и в отдельных полосах частот (кадры б). Частотные характеристики звукоизоляции обеих труб показаны на фиг. 4. Кривые 1 и 2 соответствуют экспериментальным данным для труб толщиной стенок 2 и 8 мм, кривые 3 и 4—звукоизоляции рассчитанной по закону массы. Пунктиром нанесена теоретическая зависимость.

Из проведенных измерений видно, что внутри трубы устанавливаются нормальные волны. На низких частотах пространственный период волны вдоль оси близок к длине волны в свободном пространстве, а на высоких частотах — значительно превышает ее, что хорошо согласуется с принятыми допущениями. На низких частотах измеренная звуко-



Фиг. 4

изоляция меньше достигаемой теоретически, что объясняется недостаточностью принятых мер по исключению дополнительных путей прохождения звука от источника. Исключение влияния побочных путей прохождения звука затруднено ввиду необычайно высокой звукоизоляции трубы. В заключение отметим, что ввиду большой звукоизоляции цилиндрическая труба может с успехом применяться в качестве звукоизолирующего элемента, особенно на низких частотах, где звукоизоляция пластины мала.

## ЛИТЕРАТУРА

- L. Cremer. Theorie der Luftschalldämmung Zylindrisher Schalen. Acustica. 1955, 5, 245—256.
- 2. В. А. Вавилов. Звукоизоляция с помощью цилиндрических оболочек. Научные работы ин-тов охраны труда ВЦСПС. М., Профиздат, 1968, 50, 36—40.
- 3. В. А. Вавилов, В. Б. Перетц, С. В. Бараев. О звукоизоляции цилиндрических оболочек. Научные работы ин-тов охраны труда ВЦСПС. М., Профиздат, 1968, 51, 62—65.
- 4. Т. С. Олейникова, Ю. К. Коненков. К вопросу о теории звукоизоляции бесконечной цилиндрической оболочки. Научные работы ин-тов охраны труда ВЦСПС. М., Профиздат, 1969, 61, 100—107.
- 5. Е. Л. Шендеров. Прохождение звуковой волны через упругую цилиндрическую оболочку. Акуст. ж., 1963, 9, 1, 222—230.
- 6. С. П. Тимошенко, С. Войновский-Кригер. Пластинки и оболочки. М., «Наука», 1966.

Акустический институт АН СССР Москва Поступила в редакцию 24 июля 1970 г.